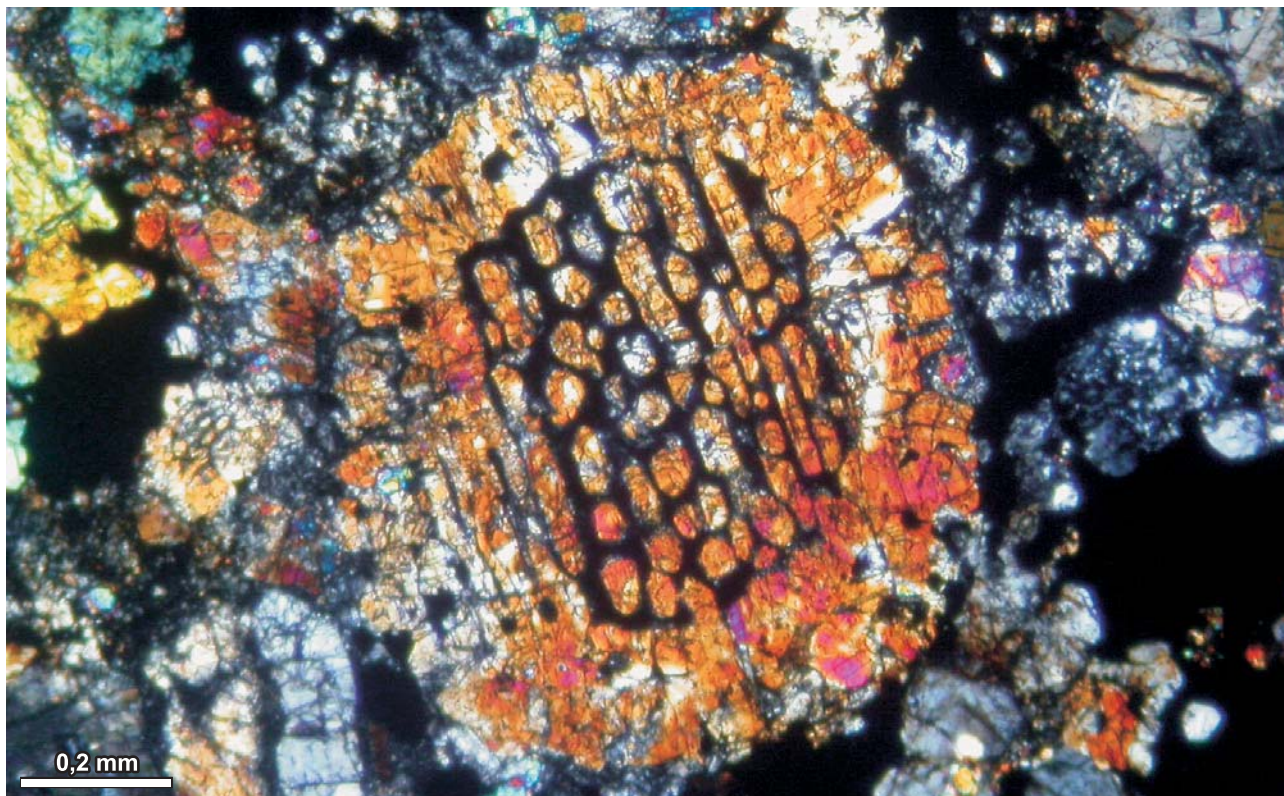
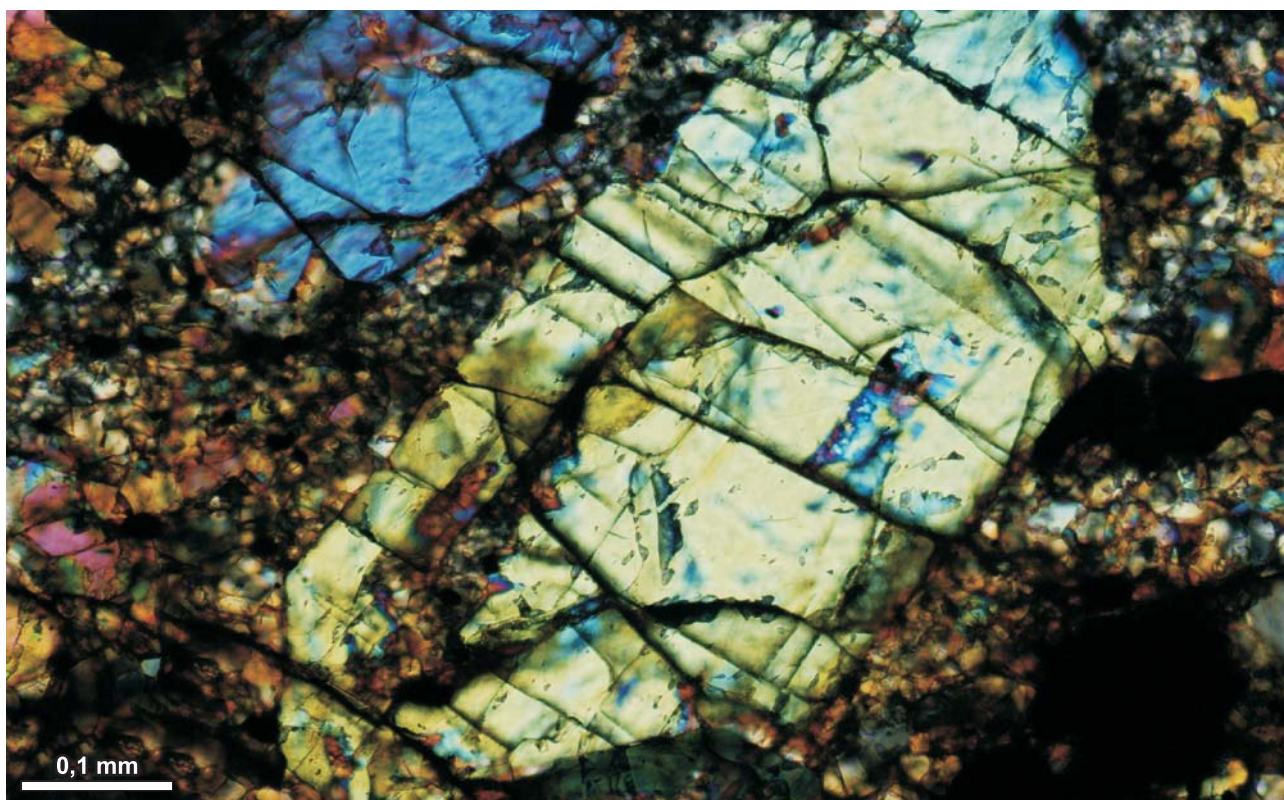


**Procesy wielokrotnego brekcjonowania deformacyjnego
i powstawania stopów impaktowych w chondrytach
na przykładzie meteorytów z kolekcji Jacka Siemiątkowskiego (patrz str. 576)**



Ryc. 5. Chondra lamelkowa oliwinowa w chondrycie NWA-869, wypełniona szklistym, skaleniowym mezostazis
Fig. 5. Barred-olivine chondrule in the NWA-869 chondrite filled with glassy feldspatic mesostasis



Ryc. 6. Zdeformowane uderzeniowo kryształy oliwinu w chondrycie Ghubara. Widoczne planarne spękania wzdłuż (001) i (010) i rozwijające się podziarna. Oba zdjęcia wykonane za pomocą mikroskopu polaryzacyjnego (skrzyżowane polaryzatory)
Fig. 6. Shock-deformed olivine crystal in the Ghubara chondrite. Planar fractures are visible along (001) and (010) as well as development of subgrains. Both photos performed under polarizing microscope (crossed polars)